

# Численное моделирование нестационарных задач диффузии нейтронов

А.В. Аввакумов <sup>1</sup>    П.Н. Вабищевич <sup>2</sup>  
А.О. Васильев <sup>2,3</sup>    В.Ф. Стрижов <sup>2</sup>

<sup>1</sup> Научно-исследовательский центр «Курчатовский институт», Москва

<sup>2</sup> Институт проблем безопасного развития атомной энергетики РАН, Москва

<sup>3</sup> Северо-Восточный федеральный университет им. М.К. Аммосова, Якутск

СКТеММ-2016, 27 июня – 1 июля 2016, Москва

## 1 Введение

## 2 Математическая модель

- Многогрупповое диффузионное приближение
- Операторная формулировка
- Спектральные задачи

## 3 Дискретизация

- Аппроксимация по времени
- Метод конечных элементов

## 4 Модельная задача

- ВВЭР-1000
- Результаты расчетов спектральной задачи
- Выход на регулярный режим

## 5 Заключение

# Введение

- Уравнение переноса нейтронов
- Многогрупповое диффузионное приближение
- Нодальные методы, МКЭ
- Спектральные характеристики
- Регулярный режим

# Многогрупповое диффузионное приближение

Динамика нейтронного потока рассматривается в ограниченной выпуклой 2D или 3D области  $\Omega$  с границей  $\partial\Omega$ . Перенос нейтронов описывается системой уравнений:

$$\begin{aligned} \frac{1}{v_g} \frac{\partial \phi_g}{\partial t} - \nabla \cdot D_g \nabla \phi_g + \Sigma_{rg} \phi_g - \sum_{g \neq g'=1}^G \Sigma_{s,g' \rightarrow g} \phi_{g'} = \\ = (1 - \beta) \chi_g \sum_{g'=1}^G \nu \Sigma_{fg'} \phi_{g'} + \tilde{\chi}_g \sum_{m=1}^M \lambda_m c_m, \quad g = 1, 2, \dots, G. \end{aligned}$$

Здесь  $\phi_g$  – поток нейтронов,  $v_g$  – эффективная скорость,  $D_g$  – коэффициент диффузии,  $\Sigma_{rg}$  – сечение увода,  $\Sigma_{s,g' \rightarrow g}$  – сечение рассеяния,  $\nu \Sigma_{fg}$  – сечение генерации,  $\beta$  – эффективная доля запаздывающих нейтронов (ЗН),  $\chi_g$ ,  $\tilde{\chi}_g$  – спектры МН и ЗН,  $c_m$  – плотность источников ЗН,  $\lambda_m$  – постоянная распада источников ЗН.

# Запаздывающие нейтроны

Плотность источников запаздывающих нейтронов описывается уравнениями:

$$\frac{\partial c_m}{\partial t} + \lambda_m c_m = \beta_m \sum_{g=1}^G \nu \Sigma_{fg} \phi_g, \quad m = 1, 2, \dots, M,$$

где  $\beta_m$  — доля запаздывающих нейтронов  $m$  типа, причем:

$$\beta = \sum_{m=1}^M \beta_m.$$

## Без учета запаздывающих нейтронов

Без учета запаздывающих нейтронов можно ограничиться задачей для нейтронного потока:

$$\begin{aligned} \frac{1}{v_g} \frac{\partial \phi_g}{\partial t} - \nabla \cdot D_g \nabla \phi_g + \Sigma_{rg} \phi_g - \sum_{g' \neq g}^G \Sigma_{s, g' \rightarrow g} \phi_{g'} = \\ = ((1 - \beta) \chi_g + \beta \tilde{\chi}_g) \sum_{g'=1}^G \nu \Sigma_{fg'} \phi_{g'}, \quad g = 1, 2, \dots, G. \end{aligned}$$

# Начальные и граничные условия

На границе области  $\partial\Omega$  ставятся условия альбедного типа:

$$D_g \frac{\partial \phi_g}{\partial n} + \gamma_g \phi_g = 0, \quad g = 1, 2, \dots, G,$$

где  $n$  – внешняя нормаль к границе  $\partial\Omega$ ,  $\gamma_g$  – групповой альбедный параметр.

Рассматривается краевая задача с граничными условиями альбедного типа, и начальными условиями:

$$\phi_g(\mathbf{x}, 0) = \phi_g^0(\mathbf{x}), \quad g = 1, 2, \dots, G, \quad c_m(\mathbf{x}, 0) = c_m^0(\mathbf{x}), \quad m = 1, 2, \dots, M.$$

# Операторная формулировка

## Обозначения

$$\begin{aligned}
 \phi &= \{\phi_1, \phi_2, \dots, \phi_G\}, \quad \mathbf{c} = \{c_1, c_2, \dots, c_M\} \\
 V &= (v_{gg'}), \quad v_{gg'} = \delta_{gg'} v_g^{-1}, \\
 D &= (d_{gg'}), \quad d_{gg'} = -\delta_{gg'} \nabla \cdot D_g \nabla, \\
 S &= (s_{gg'}), \quad s_{gg'} = \delta_{gg'} \Sigma_{rg} - \Sigma_{s, g' \rightarrow g}, \\
 R &= (r_{gg'}), \quad r_{gg'} = (1 - \beta) \chi_g \nu \Sigma_{fg'}, \\
 \tilde{R} &= (\tilde{r}_{gg'}), \quad \tilde{r}_{gg'} = ((1 - \beta) \chi_g + \beta \tilde{\chi}_g) \nu \Sigma_{fg'}, \\
 B &= (b_{gm}), \quad b_{gm} = \tilde{\chi}_g \lambda_m, \\
 \Lambda &= (\lambda_{mm'}), \quad \lambda_{mm'} = \lambda_m \delta_{mm'}, \\
 Q &= (q_{mg}), \quad q_{mg} = \beta_m \nu \Sigma_{fg}, \\
 g, g' &= 1, 2, \dots, G, \quad m, m' = 1, 2, \dots, M,
 \end{aligned}$$

где

$$\delta_{gg'} = \begin{cases} 1, & g = g', \\ 0, & g \neq g'. \end{cases}$$



# Операторная формулировка

С учетом введенных обозначений система уравнений с учетом запаздывающих нейтронов записывается в следующем виде:

$$V \frac{d\phi}{dt} + (D + S)\phi = R\phi + Bc,$$

$$\frac{dc}{dt} + \Lambda c = Q\phi.$$

Без учета запаздывающих нейтронов:

$$V \frac{d\phi}{dt} + (D + S)\phi = \tilde{R}\phi.$$

Рассматривается задача Коши при следующих начальных и граничных условиях:

$$\phi(0) = \phi^0, \quad c(0) = c^0, \quad D \frac{d\phi}{dn} + L\phi = 0,$$

где  $L = (l_{gg'})$ ,  $l_{gg'} = \delta_{gg'} \gamma_g$ .

## Спектральные задачи

С учетом запаздывающих нейтронов она формулируется в виде:

$$\begin{aligned}(D + S)\varphi &= \mu(R\varphi + Bs), \\ \Lambda s &= \mu Q\varphi.\end{aligned}$$

Аналогично, без учета запаздывающих нейтронов:

$$(D + S)\varphi = \mu\tilde{R}\varphi.$$

Минимальное собственное значение:

$$k = \frac{1}{\mu^{(1)}}$$

есть эффективный коэффициент размножения. Значение  $k = \mu^{(1)} = 1$  связывается с критическим состоянием реактора, соответствующая собственная функция  $\varphi^{(1)}(\mathbf{x})$  есть стационарное решение уравнения.

## Регулярный режим

Более приемлемая спектральная характеристика связана с  $\alpha$ -спектральной задачей. С учетом запаздывающих нейтронов она имеет вид

$$\begin{aligned}(D + S - R)\varphi - Bs &= \mu V\varphi, \\ \Lambda s - Q\varphi &= \mu s.\end{aligned}$$

Без учета запаздывающих нейтронов имеем

$$(D + S - \tilde{R})\varphi = \mu V\varphi.$$

Главное собственное значение

$$\alpha = \mu^{(1)}$$

называется  $\alpha$ -собственным значением (период реактора).

С собственным значением  $\alpha$  можно связать асимптотическое поведение решения задачи Коши при больших временах. В этом регулярном режиме поведение реактора описывается функцией  $e^{-\alpha t}\varphi^{(1)}(\mathbf{x})$ , то есть поведение решения определяется только первой гармоникой

# Аппроксимация по времени

Определим сетку  $\omega = \{t^n = n\tau, \quad n = 0, 1, \dots, N, \quad \tau N = T\}$  и используем обозначения  $\phi^n = \phi(x, t^n)$ ,  $c^n = c(x, t^n)$ .

Используется численно-аналитический метод:

$$\frac{\partial e^{\lambda_m t} c_m}{\partial t} = \beta_m e^{\lambda_m t} \sum_{g=1}^G \nu \Sigma_{fg} \phi_g, \quad m = 1, 2, \dots, M.$$

Интегрирование от  $t^n$  до  $t^{n+1}$  дает:

$$c_m^{n+1} = e^{-\lambda_m \tau} c_m^n + \beta_m \int_{t_n}^{t_{n+1}} e^{\lambda_m(t-t^{n+1})} \sum_{g=1}^G \nu \Sigma_{fg} \phi_g dt, \quad m = 1, 2, \dots, M.$$

## Без учета запаздывающих нейтронов

Чисто неявная схема:

$$V \frac{\phi^{n+1} - \phi^n}{\tau} + (D + S)\phi^{n+1} = \tilde{R}\phi^{n+1}.$$

Явно-неявная схема:

$$V \frac{\phi^{n+1} - \phi^n}{\tau} + (D + S)\phi^{n+1} = \tilde{R}\phi^n.$$

Схема Кранка-Николсон:

$$V \frac{\phi^{n+1} - \phi^n}{\tau} + (D + S) \frac{\phi^{n+1} + \phi^n}{2} = \tilde{R} \frac{\phi^{n+1} + \phi^n}{2}.$$

## С учетом запаздывающих нейтронов

Чисто неявная схема:

$$V \frac{\phi^{n+1} - \phi^n}{\tau} + (D + S)\phi^{n+1} = R\phi^{n+1} + Bc^{n+1},$$

$$c^{n+1} = \tilde{\Lambda}c^n + \tau Q\phi^{n+1},$$

где

$$\tilde{\Lambda} = (\tilde{\lambda}_{mm'}), \quad \tilde{\lambda}_{mm'} = \delta_{mm'} e^{-\lambda_m \tau}, \quad m, m' = 1, 2, \dots, M.$$

Явно-неявная схема:

$$V \frac{\phi^{n+1} - \phi^n}{\tau} + (D + S)\phi^{n+1} = R\phi^n + Bc^{n+1},$$

$$c^{n+1} = \tilde{\Lambda}c^n + \tau \tilde{Q}\phi^n,$$

где

$$\tilde{Q} = (\tilde{q}_{mg}), \quad \tilde{q}_{mg} = e^{-\lambda_m \tau} \beta_m \nu \Sigma_{fg}, \quad g = 1, 2, \dots, G, \quad m = 1, 2, \dots, M.$$

# Метод конечных элементов

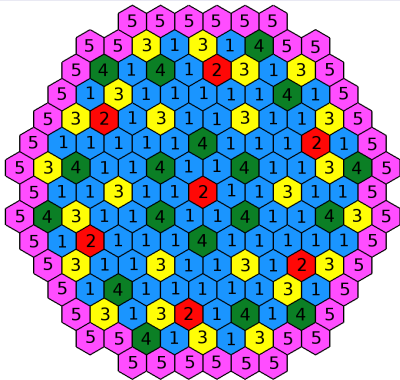
Пусть  $H^1(\Omega)$  – пространство Соболева,  $v \in H^1$  таких, что  $v^2$  и  $|\nabla v|^2$  имеют конечный интеграл в  $\Omega$ . Для  $\mathbf{v} = \{v_1, v_2, \dots, v_d\}$  определим аналогично  $V^d = [H^1(\Omega)]^d$ . Обозначения для тестовых функций  $\xi = \{\xi_1, \xi_2, \dots, \xi_G\}$ ,  $\zeta = \{\zeta_1, \zeta_2, \dots, \zeta_M\}$ . Вариационная постановка: найти  $\phi \in V^D$ ,  $\mathbf{c} \in V^M$ , для которых имеет место:

$$\begin{aligned} \int_{\Omega} \left( v \frac{\phi^{n+1} - \phi^n}{\tau} + S \phi^{n+1} \right) \xi d\mathbf{x} + \int_{\Omega} \sum_{g=1}^G D_G \nabla \phi_g^{n+1} \nabla \xi_g d\mathbf{x} + \\ + \int_{\partial\Omega} \sum_{g=1}^G \gamma_g \phi_g^{n+1} \xi_g d\mathbf{x} = \int_{\Omega} R \phi^{n+1} \xi d\mathbf{x} + \int_{\Omega} B \mathbf{c}^{n+1} \xi d\mathbf{x}, \\ \int_{\Omega} \mathbf{c}^{n+1} \zeta d\mathbf{x} = \int_{\Omega} \tilde{\Lambda} \mathbf{c}^n \zeta d\mathbf{x} + \int_{\Omega} \tau Q \phi^{n+1} \zeta d\mathbf{x} \end{aligned}$$

при всех  $\xi \in V^D$ ,  $\zeta \in V^M$ .

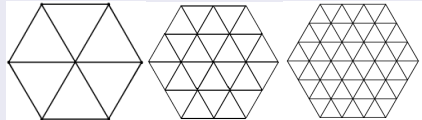
# ВВЭР-1000 без отражателя

## Геометрия

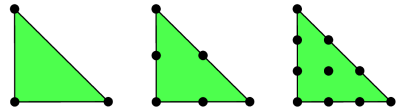


## Параметры

Число треугольников на кассету  $k$  варьируется от 6 до 96:



Используются Лагранжевые КЭ порядка  $p = 1, 2, 3$ :





## Программное обеспечение



FENICS  
PROJECT

# Результаты решения $\alpha$ -спектральной задачи (без учета запаздывающих нейтронов)

Таблица: Собственные значения  $\alpha_i = \mu^{(i)}$ ,  $i = 1, 2, \dots, 5$

$\kappa$	$p$	$\alpha_1$	$\alpha_2, \alpha_3$	$\alpha_4, \alpha_5$
6	1	-105.032	$159.802 \pm 0.025510i$	$659.109 \pm 0.034667i$
	2	-139.090	$115.793 \pm 0.029186i$	$591.782 \pm 0.034667i$
	3	-140.223	$114.035 \pm 0.033814i$	$588.762 \pm 0.069025i$
24	1	-130.422	$126.984 \pm 0.034409i$	$608.734 \pm 0.070724i$
	2	-140.187	$114.089 \pm 0.033512i$	$588.849 \pm 0.068555i$
	3	-140.281	$113.887 \pm 0.033604i$	$588.415 \pm 0.068695i$
96	1	-137.704	$117.345 \pm 0.033823i$	$593.818 \pm 0.069254i$
	2	-140.284	$113.886 \pm 0.033599i$	$588.419 \pm 0.068687i$
	3	-140.308	$113.842 \pm 0.033603i$	$588.336 \pm 0.068690i$

# Результаты решения $\alpha$ -спектральной задачи (с учетом запаздывающих нейтронов)

Таблица: Собственные значения  $\alpha_i = \mu^{(i)}$ ,  $i = 1, 2, \dots, 5$

$\kappa$	$p$	$\alpha_1$	$\alpha_2, \alpha_3$	$\alpha_4, \alpha_5$
6	1	-0.22557	$0.04241 \pm 3.08808e-06i$	$0.06588 \pm 4.80448e-07i$
	2	-2.10154	$0.03592 \pm 4.96474e-06i$	$0.06452 \pm 1.21320e-06i$
	3	-2.47975	$0.03561 \pm 5.83719e-06i$	$0.06445 \pm 1.41869e-06i$
24	1	-0.82680	$0.03777 \pm 5.37884e-06i$	$0.06489 \pm 1.37315e-06i$
	2	-2.46601	$0.03562 \pm 5.78277e-06i$	$0.06445 \pm 1.40897e-06i$
	3	-2.50294	$0.03559 \pm 5.80783e-06i$	$0.06444 \pm 1.41341e-06i$
96	1	-1.74998	$0.03619 \pm 5.69002e-06i$	$0.06456 \pm 1.40299e-06i$
	2	-2.50375	$0.03559 \pm 5.80693e-06i$	$0.06444 \pm 1.41324e-06i$
	3	-2.51280	$0.03558 \pm 5.80954e-06i$	$0.06444 \pm 1.41362e-06i$

## Выход на регулярный режим

Начальные условия для всех схем:

$$\phi_1^0 = 1.0, \quad \phi_2^0 = 0.25$$

при  $k = 24$ ,  $p = 2$ . Пусть  $T = 5 \times 10^{-3}$  и рассмотрим решение чисто неявной схемы при  $\tau = 1 \times 10^{-5}$  как квазиточное решение.

Выход на регулярный режим будем контролировать с помощью оценки близости отнормированного решения нестационарной задачи и главной собственной функции  $\phi$ . Для первой группы положим:

$$\eta(t) = \|\bar{\phi}_1(t) - \bar{\varphi}_1\|, \quad \bar{\phi}_1(t) = \frac{\phi_1(t)}{\|\phi_1(t)\|}, \quad \bar{\varphi}_1 = \frac{\varphi_1}{\|\varphi_1\|}.$$

Установление темпа динамического развития оценивается величиной:

$$\theta(t) = \frac{1}{\sqrt{2} \|\alpha\|} \left( \left\| \frac{1}{\phi_1(t)} \frac{\partial \phi_1(t)}{\partial t} - \alpha \right\|^2 + \left\| \frac{1}{\phi_2(t)} \frac{\partial \phi_2(t)}{\partial t} - \alpha \right\|^2 \right)^{1/2}.$$

Без учета ЗН,  $\eta(t)$ (слева) и  $\theta(t)$ (справа)

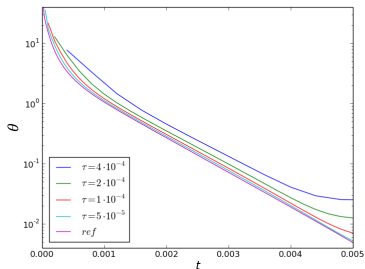
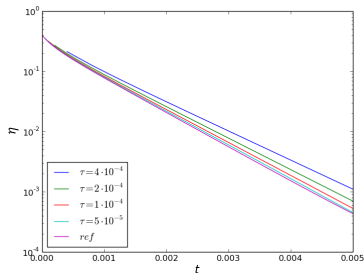


Рис.: Чисто неявная схема

# Без учета ЗН, $\eta(t)$ (слева) и $\theta(t)$ (справа)

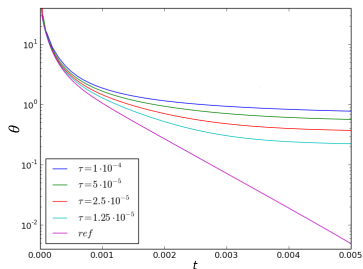
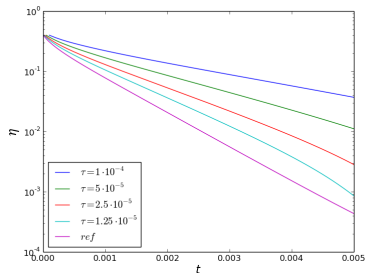


Рис.: Явно-неявная схема

# Без учета ЗН, $\eta(t)$ (слева) и $\theta(t)$ (справа)

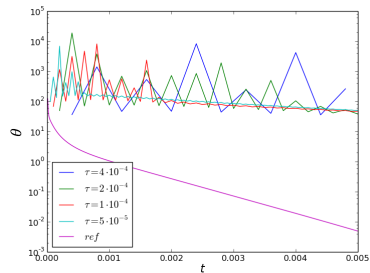
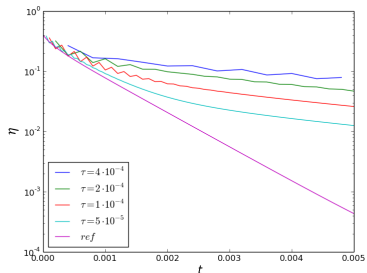


Рис.: Схема Кранка-Николсон

С учетом  $ЗН$ ,  $\eta(t)$ (слева) и  $\theta(t)$ (справа)

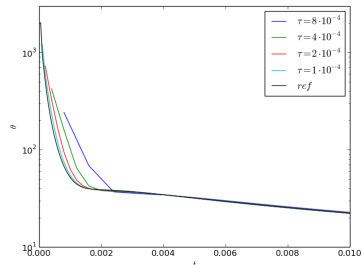
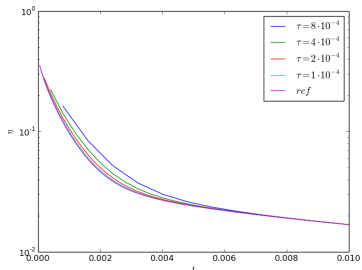


Рис.: Чисто неявная схема



С учетом  $ЗН$ ,  $\eta(t)$ (слева) и  $\theta(t)$ (справа)

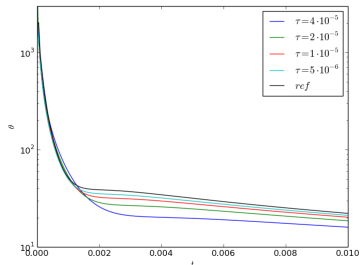
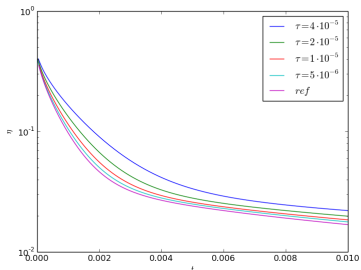
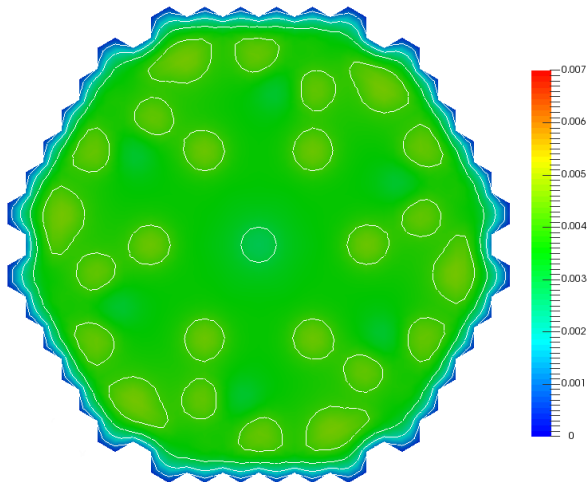
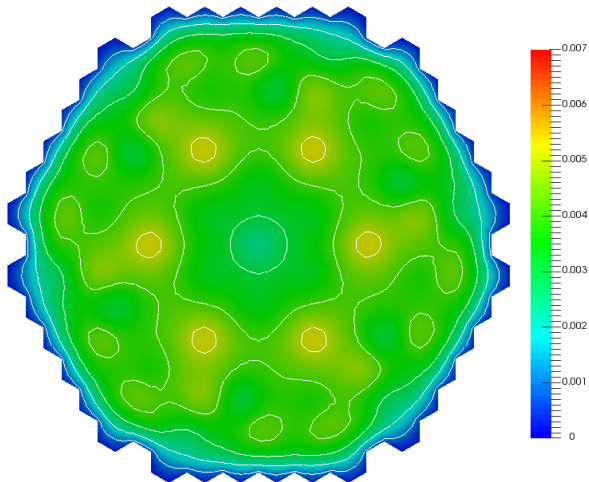


Рис.: Явно-неявная схема

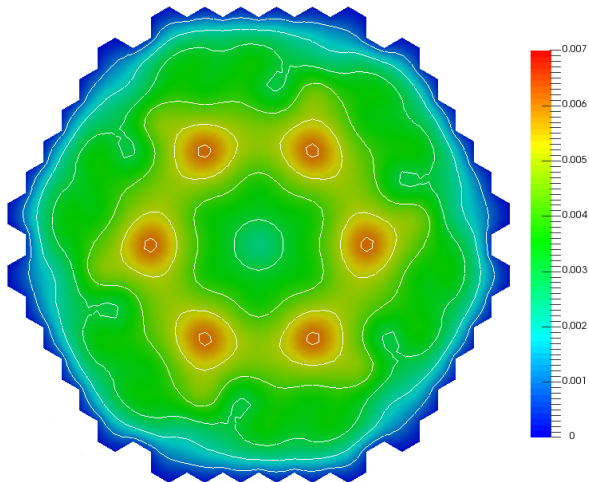
Эволюция,  $t = 0.0001$



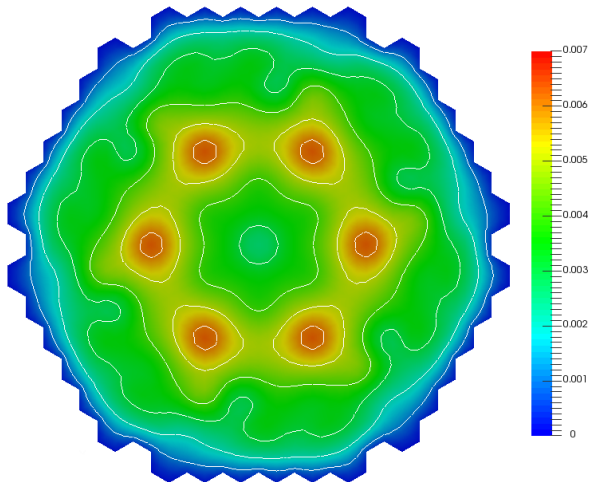
Эволюция,  $t = 0.0004$



Эволюция,  $t = 0.0016$



Эволюция,  $t = 0.0064$



## Заключение

- Рассмотрена нестационарная задача диффузии нейтронов в ядерном реакторе при использовании многогруппового приближения. Выделена  $\alpha$ -спектральная задача, которая характеризует динамическое нейтронное поле ядерного реактора на асимптотической стадии при больших временах – регулярный режим.
- Контроль точности приближенного решения проводится на последовательности сгущающихся сеток с использованием конечных элементов различной степени.
- Рассмотрена нестационарная задача диффузии нейтронов с выходом на регулярный режим в двух случаях: с учетом ЗН и без учета ЗН.
- Тестовые расчеты выполнены в двумерном приближении для ядерного реактора ВВЭР-1000 без отражателя с использованием двухгруппового диффузионного приближения. Установлена хорошая делимость собственных значений в  $\alpha$ -спектральной задаче с учетом и без учета ЗН.
- Наблюдается хорошая сходимость нестационарной задачи при уменьшении шага по времени для чисто неявной схемы. Явно-неявная схема сходится намного хуже, чем чисто неявная схема. Схема Кранка-Николсон хоть и имеет второй порядок аппроксимации, практически непригодна для моделирования регулярного режима ядерного реактора.

# Благодарность

Работа выполнена при финансовой поддержке РФФИ (проект 16-08-01215).

Спасибо за внимание! Вопросы?